

# تحلیل عددی-پارامتری عملکرد شیمیایی بسترهای کاتالیزوری پراکسیدهیدروژن برای استفاده در رانشگرهای تکپیش رانه فضایی

پژوهش‌های کاربردی  
مهندسی سیمی - پلیمر

محمد ندافی پور میبدی<sup>۱</sup>، هادی حسینی اناری<sup>۲</sup>، حسن ناصح<sup>۳\*</sup>، فتح الله امی<sup>۴</sup>

۱- تهران، بیو-هشگاه هوافضا، مهندسی، هوافضا، دانشجوی دکتری

۲- تهران، دانشگاه خواجه نصیرالدین طوسی، مهندسی مکانیک، کارشناس ارشد

۳- تهیان، استادیاری و هشگاه هو افضل

۴- تهران، پژوهشگاه هواشناسی و دانشگاه تربیت مدرس، مهندسی مکانیک، دانشیار

فصلنامه علمی - پژوهشی بین رشته ای

سال اول، شماره ۲۰، نسخه ۱،

؛ مستان ۱۳۹۶، صفحه ۲۴-۱۵

حکیم

نتایج بررسی افت فشار بستر کاتالیزوری نشان می‌دهد که در سرعت مشخص پیش‌رانه، در قطر خاصی کمینه افت فشار ایجاد خواهد شد. دلیل این امر برهم‌کنش تأثیرات میزان سطح واکنش و طول بستر کاتالیزوری بر افت فشار ایجاد شده در طی فرایند تجزیه پیش‌رانه است. نتایج حاصل از تحلیل توسط نتایج تجربی تأیید شده است.

واژه‌های کلیدی

عملکرد شیمیاگری

بسترهای کاتالیزوری

پراکسیدھیڈروژن

## رانشگرهای تک پیش رانه فضایی

\* مسئول مکاتبات:

hnaseh@ari.ac.ir

## ۱ مقدمه

رانشگر بسیار حائز اهمیت است [۴].

نوع، شکل، سطح مخصوص و نحوه چیدمان کاتالیزور در بستر، بر نرخ تجزیه پیش‌رانه تأثیرگذار است. طراحی و توسعه رانشگرهایی با قید دست‌یابی به بیشینه خواص مربوط به انرژی پیش‌رانه در عین کمینه کردن وزن رانشگر، نیازمند طراحی مناسب، تعیین اندازه بستر و شناسایی عملکرد بسترهای کاتالیزوری است [۵]. کوتاه بودن طول بستر، تجزیه ناقص و کاهش کارایی بستر و درنهایت کاهش ضربه ویژه رانشگر را به دنبال خواهد داشت [۶]. طولانی بودن طول بستر کاتالیزوری نیز باعث افزایش وزن بستر و رانشگر و در صورت عدم عایق‌کاری حرارتی مناسب، کاهش دمای محصولات واکنش، حتی میزان بخارآب و نهایتاً کاهش کارایی بستر و ضربه ویژه رانشگر را به دنبال خواهد داشت [۷]. در سال‌های گذشته مطالعات بسیاری به شکل مطالعات تجربی و عددی برای رسیدن به این مهم صورت پذیرفته است.

در سال ۱۹۵۴ آزمون‌هایی در خصوص نحوه تجزیه پراکسیدهیدروژن در راکتور لوله‌ای توسط ساتر菲尔د (Satterfield) و همکاران انجام شد [۱]. در سال ۲۰۰۰ شبیه‌سازی عددی جریان پراکسیدهیدروژن با تجزیه کاتالیزوری در عبور از بستر توری نقره توسط چیپتا (Chiappetta) و همکاران انجام شد [۸]. در این مطالعه از فرض جریان متقاضی محوری، انجام سیستیک واکنش شیمیایی تجزیه پراکسیدهیدروژن در واکنش تک مرحله‌ای و استفاده از قانون دارسی برای محیط مخلخل به منظور محاسبه افت فشار صورت گرفت. در این مطالعه تغییرات ضربی ثابت نمایی قانون آرنیوس در تناسب خطی با نسبت سطح به حجم بستر و همچنین انرژی فعالسازی واکنش، ۵۰۳۲ ژول بر مول فرض شد.

کورپنینگ (Corpening) و همکارانش نیز در سال ۲۰۰۴ تجزیه گرمایی پراکسیدهیدروژن مایع را که در جریان داغ محصولات تجزیه پراکسیدهیدروژن تزریق می‌شد مورد ارزیابی قراردادند [۱۰-۸]. مدل آن‌ها پایا، جریان بی‌دورویک بعدی و دربرگیرنده تبخیر قطره، سیستیک

کاربرد پراکسیدهیدروژن با غلظت بالا یا پراکسیدهیدروژن با کیفیت پیش‌رانه (HTP) با توجه به سهولت کاربری، سهیت و قیمت نسبتاً پایین از دیرباز مورد توجه پژوهشگران حوزه پیش‌رانش بوده است [۱]. این ماده به عنوان پیش‌رانه مایع به صورت تک-پیش‌رانه و همچنین به عنوان اکسنده در رانشگرهای پیش‌رانه مایع [۲] و هیبریدی [۳]، به کار گرفته شده است.

پراکسیدهیدروژن ماده‌ای نسبتاً نایایدار است و در مجاورت برخی فلزات، از جمله نقره و پلاتین، به آب و اکسیژن تجزیه می‌شود. علی‌رغم بالا بودن انرژی فعال‌سازی تجزیه پراکسیدهیدروژن، این ماده در مجاورت کاتالیزورهای فلزی با کاهش انرژی فعال‌سازی مواجه شده و سرعت این واکنش افزایش می‌یابد. فرایند تجزیه پراکسیدهیدروژن، گرمایشی است. انرژی آزادشده طی این فرایند در حدود ۹۸ kJ/mol در حدود ۴۴ kJ/mol، صرف تبخیر آب حاصل از واکنش می‌شود و مقدار انرژی باقی‌مانده، در حدود ۵۴ kJ/mol، به صورت گرمایی محسوس، موجب افزایش دمای بستر کاتالیزوری می‌شود. این افزایش دما در حالت بی‌دررو، افزایش دمای بستر تا حدود ۸۵۰-۱۲۵۰ K را در پی خواهد داشت.

واکنش تجزیه خودبه‌خودی پراکسیدهیدروژن با انرژی آزاد شده نسبتاً بالا، در رانشگرهای شیمیایی به خصوص رانشگرهای تک پیش‌رانه، بسیار متداول است.

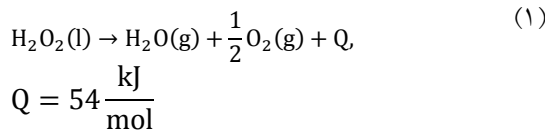
رانشگرهای تک پیش‌رانه معمولاً در مأموریت‌های فضایی به عنوان یکی از عملگرهای زیرسامانه کترول وضعیت و موقعیت فضایی‌ها مورد استفاده قرار می‌گیرند. با توجه به کارکرد فضایی، دست‌یابی به عناصر بهیه، با بیشینه کارایی و کمینه وزن، از اهداف طراحان رانشگرها است. لذا تجزیه کامل پراکسیدهیدروژن در بستر کاتالیزوری با قید بهینه بودن سایر متغیرهای عملکردی رانشگر (فشار و دمای محفظه رانش)، به خصوص در کاربردهای فضایی به منظور افزایش هرچه بیشتر ضربه ویژه و کاهش جرم

## ۲ شبیه‌سازی

در این تحقیق شناسایی خواص مربوط به انرژی پراکسیدهیدروژن و شناسایی سامانه‌ای عملکرد کاتالیزور به ترتیب در مدل‌سازی صفر بعدی و یک دسته شبیه‌سازی سه‌بعدی مورد ارزیابی قرار گرفت.

### ۱-۱ مدل‌سازی صفر بعدی

به منظور شناسایی ماهیت تجزیه پراکسیدهیدروژن، معادله ۱، مدل تجزیه بی بعد این واکنش در نرم افزار MATLAB تهیه شد. در این مدل واکنش پایای پراکسیدهیدروژن با فرض فرایند بی در روپیاده شده است.



مدل‌سازی بی بعد واکنش تجزیه با استفاده از مدل آرنیوس، مطابق دسته معادلات ۲ و ۳، انجام شد. طبق معادلات مرتبه اول سیتیک آرنیوس، سرعت واکنش ( $r$ ) به صورت ضرب ثابت سرعت سیتیک شیمیایی ( $k$ ) در غلظت گونه ( $C_i$ ) تعریف می‌شوند. ضرب ثابت سرعت سیتیک شیمیایی، معادله ۳ به صورت تابع نمایی از انرژی فعال‌سازی ( $E_a$ )، دما ( $T$ )، ثابت جهانی گازها و ضریب تابع نمایی ( $A$ ) تعریف می‌شود.

$$r_i = kC_i \quad (2)$$

$$k = A \exp\left(-\frac{E_a}{RT}\right) \quad (3)$$

انرژی فعال‌سازی تنها تابعی از ماهیت واکنش و نوع کاتالیزور استفاده شده در واکنش است و از هندسه و شرایط واکنش تأثیر نمی‌پذیرد. برای تجزیه پراکسیدهیدروژن با کاتالیزور نقره انرژی فعال‌سازی واکنش در حدود  $52/5 \text{ kJ/mol}$  است.  $A$  ضریب تابع نمایی بوده و واحد آن  $\text{sec}^{-1}$  است. این عامل مانند ضریب مقیاس عمل می‌کند. ضریب تابع نمایی برخلاف انرژی فعال‌سازی

تجزیه فاز گازی، قوانین پایستگی جرم و گشتاور برای هر دوفاز بود.

پاسینی (Pasini) و همکارانش در سال ۲۰۰۸ مدل پایای یک بعدی از تجزیه پراکسیدهیدروژن را در بستر کاتالیزوری از نوع گلوله‌ای (Pellet Type) به منظور کاربرد در طراحی پارامتری بستر کاتالیزوری متداول رانشگرهای تک پیش‌رانه کوچکارائه کردند [۱۱]. در این مدل جریان دو فاز، مایع-گاز-بخار، پیش‌رانه درون بستر کاتالیزوری با فرض جریان همگن، بی دررو، واکنش شیمیایی که مشخصه‌های آن به ترکیبات محلی وابسته است، ارزیابی و گزارش شد.

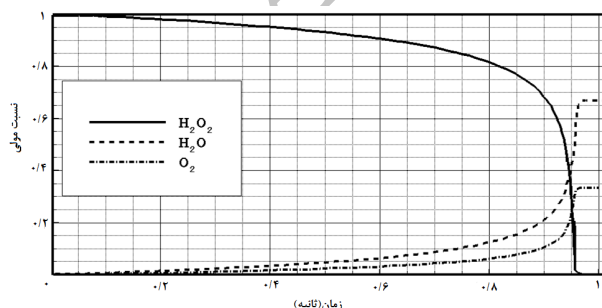
در ایران نیز اولین نمونه از رانشگرهای تک پیش‌رانه، توسط قاسمی و همکاران در سال ۱۳۹۰ ساخته شد و مورد آزمایش قرار گرفت [۱۲]. آزمون‌های انجام شده در این مطالعه به منظور امکان‌سنجی ساخت موتور تک پیش‌رانه برای کاربردهای فضایی انجام شده است. همچنین در این مطالعه با تغییر طول بستر کاتالیزوری و محاسبه سرعت مشخصه برای هر آزمون، طول بستر مناسب برای تجزیه کامل پیش‌رانه استخراج شده است. پراکسید هیدروژن  $92\%$  به عنوان پیش‌رانه و توری‌های نقره به عنوان بستر کاتالیزوری استفاده شدند.

با توجه به روند فناوری در ساخت و پرتاب ماهواره‌های کشور، نیازمندی به طراحی، ساخت، آزمون و استفاده از زیرسamanه‌های پیش‌رانشی تک پیش‌رانه دور احساس می‌شود. دست یابی به دانش فنی ساخت و طراحی بسترها کاتالیزوری به عنوان یکی از گلوگاه‌های بسترها کاتالیزوری به عنوان یکی از گلوگاه‌های دست یابی به چنین زیرسamanه‌هایی مطرح است. در تحقیق حاضر برای درک صحیح از عملکرد بسترهای کاتالیزوری گلوله‌ای، مطالعه‌ای در خصوص تأثیر قطر گوی‌های کاتالیزوری بر نحوه عملکرد بستر، طول بهینه و میزان افت فشار، انجام شد. هدف این مطالعه ارائه روشی برای طراحی هندسه مناسب بستر کاتالیزوری گلوله‌ای و تعیین کمینه طول آن برای تجزیه کامل پیش‌رانه است.

پراکسیدهیدروژن در شکل ۱ نمایش داده شده است. همان‌طور که انتظار می‌رود با پیشرفت واکنش و مصرف پراکسیدهیدروژن، آب و اکسیژن تولید می‌شود. نرخ مصرف پراکسیدهیدروژن برابر با نرخ تولید آب است؛ اما اکسیژن با نصف سرعت تجزیه پراکسیدهیدروژن تولید می‌شود. با تجزیه کامل پراکسیدهیدروژن محصولات در دمایی در حدود ۱۲۵۰ کلوین به تعادل می‌رسند. منحنی پیشرفت واکنش شیمیایی و تجزیه پراکسیدهیدروژن به آب و اکسیژن در روند پیشرفت واکنش به صورت شکل ۲ است. زمان استخراج شده از این نمودار برای تجزیه کامل پراکسیدهیدروژن معرف زمان‌ماند تجزیه پراکسیدهیدروژن در بستر تجزیه است. به منظور بررسی تأثیر تغییرات ضریب تابع نمایی A بر سرعت واکنش مطالعه پارامتری انجام شد. نتایج این مطالعه در شکل ۳ ارائه شده است. همان‌طور که مشاهده می‌شود با افزایش این ضریب سرعت انجام واکنش افزایش می‌یابد؛ به‌نحوی که برای ضرایب تابع نمایی بزرگ‌تر از  $10^8 \text{ s}^{-1}$ ، زمان ماند کوچک‌تر از ۱ میلی‌ثانیه خواهد بود.

## ۲-۲ شبیه‌سازی سه‌بعدی

در این مطالعه پس از استخراج معادلات حاکم، هندسه، شبکه‌بندي مسئله تعریف، و شبیه‌سازی سه‌بعدی به منظور استخراج حل جریان انجام پیده‌سازی شد.



شکل ۲- منحنی پیشرفت واکنش تجزیه پراکسیدهیدروژن با فرض مساوی  $10^8 \text{ s}^{-1}$

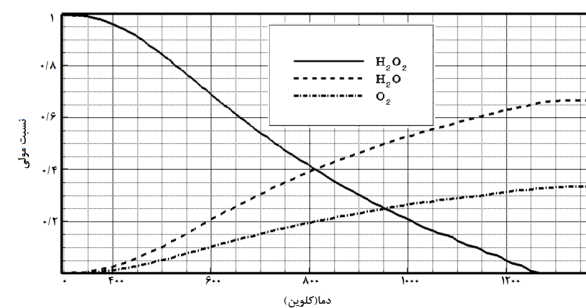
علاوه بر نوع واکنش، تابعی از نوع کاتالیزور، هندسه و شرایط واکنش است. Zhou (Zhou) و همکارانش در سال ۲۰۰۵ برای واکنش تجزیه پراکسیدهیدروژن با کاتالیزور نقره اندازه ضریب نمایی را  $10^9 \text{ s}^{-1}$  تخمین زدند [۷]. هم‌چنین در سال ۲۰۱۴، Ryan (Ryan) و همکاران مقدار  $10^8 \text{ s}^{-1}$  را برای تجزیه پراکسیدهیدروژن در بسترهای کاتالیزوری فلزی استفاده شده در میکرو رانشگر خود پیشنهاد دادند [۱۳].

با فرض فرایند بی درروی واکنش، تغییرات دمای واکنش، همانند آنچه در رابطه ۴ ارائه شده است، به صورت نسبت تغییرات آنتالپی پیشرفت واکنش به ضریب گرمای ویژه کل واکنش، واکنش دهنده‌ها و محصولات، در هر لحظه محاسبه خواهد شد.

$$\frac{dT}{dt} = \frac{\sum_{i=1}^n -\dot{r}_i h_i}{\sum_{i=1}^n -C_i C_{P,i}} \quad (4)$$

با استفاده از برنامه توسعه داده شده، دما و غلظت اجزای واکنش متناسب با پیشرفت تجزیه به عنوان تابعی از زمان قابل محاسبه خواهد بود. نمونه‌ای از نتایج محاسبات انجام شده برای تجزیه پراکسیدهیدروژن خالص ۱۰۰٪ با دمای اولیه K<sub>300</sub>، با فرض تجزیه در شرایط بی دررو در شکل ۱ تا شکل ۳ نمایش داده شده است.

منحنی تغییرات دما نسبت به پیشرفت واکنش تجزیه



شکل ۱- منحنی تغییرات دما نسبت به پیشرفت واکنش تجزیه پراکسیدهیدروژن

$$\frac{\partial \rho}{\partial t} + \nabla \cdot (\rho u) = 0 \quad (5)$$

$$\rho C_p \frac{\partial u}{\partial t} + \rho(u \cdot \nabla)u = \nabla \cdot [-pI + \mu(\nabla u + (\nabla u)^T) - \frac{2}{3}\mu(\nabla \cdot u)I + F] \quad (6)$$

$$\rho C_p \frac{\partial T}{\partial t} + \rho C_p u \cdot \nabla T = \nabla \cdot (k \nabla T) + Q \quad (7)$$

$$\frac{\partial c_i}{\partial t} + u \cdot \nabla c = \nabla \cdot (D_i \nabla c_i) + R_i \quad (8)$$

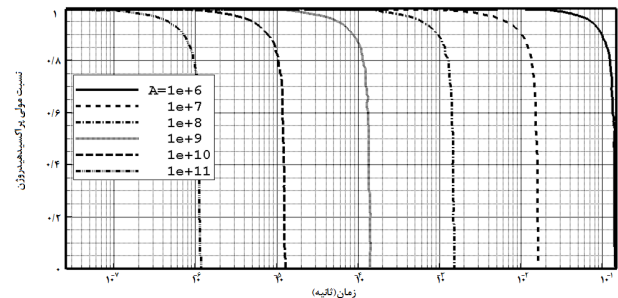
در تحقیق حاضر حل معادلات حاکم برای محاسبه و پیش‌بینی فیزیک جریان همراه با تجزیه شیمیایی در بستر کاتالیزوری با استفاده از نرم‌افزار تجاری کامسول (Comsol) که حلگری بر پایه تحلیل اجزای محدود است، انجام شده است. مدل تعادل شیمیایی و مدل آرنیوس برای مدل‌سازی تجزیه روی سطح واکنش مورد استفاده قرار گرفت. همچنین برای مدل‌سازی خصوصیات آشفتگی جریان با استفاده از مدل کی-امگا (K-ω) محاسبه شد.

## ۲-۲-۲ هندسه و شبکه‌بندی

برای شبیه‌سازی نحوه قرارگیری گوی‌های کاتالیزوری در بستر، حالات مختلف چیدمان کره‌های همسان در استوانه مورد ارزیابی قرار گرفت. نمونه‌ای از این چیدمان‌ها در شکل ۴ نمایش داده شده است. با توجه به کوچک بودن ابعاد گوی‌ها و عدم امکان چیدمان منظم گوی‌ها در حالت واقعی و هم‌چنین به منظور دست‌یابی به بیشترین گوی در حجم مشخص، چیدمان (ج) برای شبیه‌سازی انتخاب شد.

شبیه‌سازی چیدمان گوی‌های کاتالیزوری در حجم بستر، با قرارگیری و تکرار صفحات گوی به صورت شکل ۵ انجام پذیرفت.

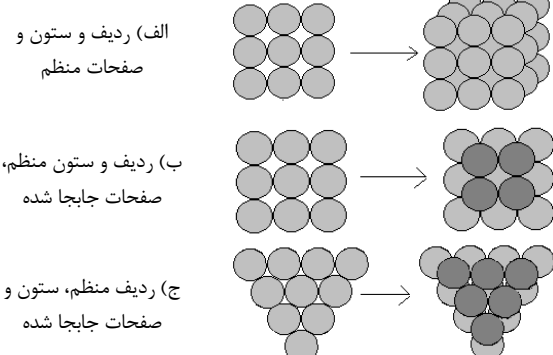
برای ساده‌سازی هندسه و کاهش محاسبات انجام شده مسیر عبور جریان از بین گوی‌ها به صورت شکل ۶ در نظر گرفته شد. در نهایت هندسه شبیه‌سازی از کم کردن حجم کاتالیست‌ها از مکعب مستطیلی با قاعده مربعی و طول ضلع معادل قطر گوی‌های کاتالیستی استخراج می‌شود. طول بستر در شبیه‌سازی‌های مختلف با قید تجزیه کامل پیش‌رانه به دست می‌آید.



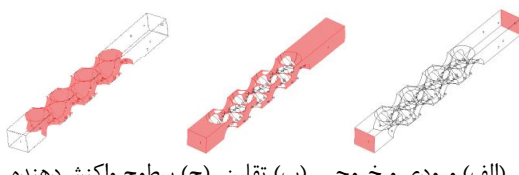
شکل ۳- تأثیر ضریب نمایی در سرعت واکنش تجزیه پراکسیدهیدروژن

## ۱-۲-۲ معادلات حاکم

معادلات حاکم بر مسئله شبیه‌سازی تجزیه کاتالیزوری جریان سیال مانند هر واکنش شیمیایی دیگر، معادله پیوستگی در جهات مختلف، معادلات نویراستوکس، معادلات انرژی و معادلات گونه‌ها را شامل می‌شود. این معادلات به صورت دسته معادلات ۵ الی ۸ نشان داده شده است. در این معادلات  $\mu$  سرعت سیال،  $P$  چگالی،  $F$  نیروی کشش سطحی (Diffusion Coefficient) برای است. ضریب نفوذ  $m^2/s$  برابر با  $10^{-9}$  می‌شود [۱۳].

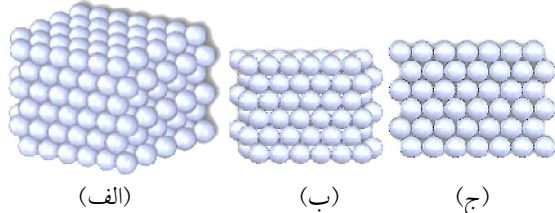


شکل ۴- حالت‌های مختلف چیدمان گوی‌ها در کنار یکدیگر



(الف) ورودی و خروجی (ب) تقارن (ج) سطوح واکنش دهنده

شکل ۷- طرح واره معرفی شرایط مرزی در شبیه‌سازی عددی بستر کاتالیزوری



شکل ۵- نحوه شبیه‌سازی چیدمان گوی

## ۲-۲-۲ شرایط مرزی

با توجه به هندسه انتخاب شده سه شرط مرزی ورودی و خروجی، تقارن و سطح واکنش برای حل مسئله معرفی شد. نحوه معرفی شرایط مرزی در شکل ۷ نمایش داده شده است. در شرط مرزی ورودی مشخصات و سرعت پیش‌رانه ورودی به بستر معرفی می‌شود. شرط مرزی خروجی نیز توسعه یافته‌گی جریان است. در سطح واکنش ضریب تابع نمایی و انرژی فعال‌سازی واکنش ارائه شده است.

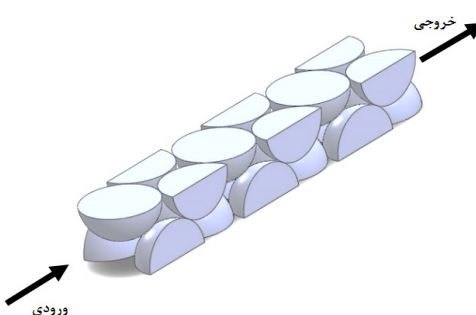
## ۳-۲-۲ اعتبارسنجی

به منظور اعتبارسنجی شبیه‌سازی انجام شده در تحقیق حاضر به دلیل نبود مطالعه مشابه برای تصدیق نتایج مربوط، مقایسه‌ای بین نتایج آزمون‌های پاسینی و همکارانش [۱۴] با شبیه‌سازی پیاده شده با شرایط عملکرد متناظر موتور آزمایش شد. آن‌ها در آزمایش‌های خود از کاتالیزورهای کروی شکل با قطر تقریبی در حدود  $6/0$  میلی‌متر که از پلاتین لایه نشانی شده بر پایه سرامیکی گاما‌الومینا تشکیل شده بود، همانند آنچه در شکل ۸ نمایش داده شده، استفاده کردند.

مجموعه‌های از بستر کاتالیزوری در موتور آزمایشگاهی که مشخصات آن به طور خلاصه در جدول ۱ آمده است، برای آزمون‌ها چیده شد.

این مجموعه در دو آزمون با پیش‌رانه پراکسیدهیدروژن با غلظت‌های وزنی متفاوت،  $70$  و  $5/87$ ٪، با دبی جرمی به ترتیب  $85/3$  و  $65/3$  گرم بر ثانیه مورد آزمون قرار گرفت. به منظور اعتبارسنجی شبیه‌سازی انجام شده در این تحقیق با شرایط آزمون‌های فوق دو

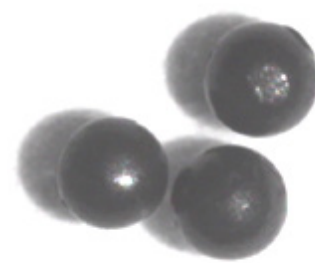
شبکه‌بندی استفاده شده در این مطالعه از نوع شکل نیافته (Unstructured) بود. بررسی سامانه‌ای با کوچک کردن شبکه برای اطمینان از استقلال نتایج ریز شدن بیشتر شبکه انجام شد. در این مطالعه بستری با طول دوازده میلی‌متر از گوی‌هایی با قطر  $6/0$  میلی‌متر در نظر گرفته شد. هندسه در سه حل با حداقل طول المان  $0/06$  و  $0/006$  روى سطح واکنش و حداقل طول  $10$  برابری برای سطح غیر واکنشی برای شرایط ورودی یکسان مورد ارزیابی قرار گرفت. غلظت پیش‌رانه در خروجی به عنوان معیار ارزیابی در راه حل‌های با المان‌های سطح واکنش  $0/006$  و  $0/0006$  کمتر از  $2/1$  درصد اختلاف داشتند. بنابراین در این مطالعه سطوح غیر واکنش و سطح واکنش به ترتیب با طول المان کمتر از یک دهم و یک صدم قطر گوی‌ها شبکه‌بندی شده و در نهایت شبکه‌بندی روی حجم مسئله انجام شد.



شکل ۶- طرح واره هندسه مورد مطالعه در شبیه‌سازی عددی بستر کاتالیزوری

جدول ۲- نتایج شبیه‌سازی تحقیق فعلی و آزمون‌های انجام‌شده توسط پاسینی [۱۴]

متغیر	مقدار
غلظت پیش‌رانه	%۸۷.۵
طول محاسبه شده در شبیه‌سازی (mm)	۴۶
بازدہ سرعت مشخصه در آزمایش [۱۴]	%۵۲
	%۷۰
	۳۵
	%۷۳



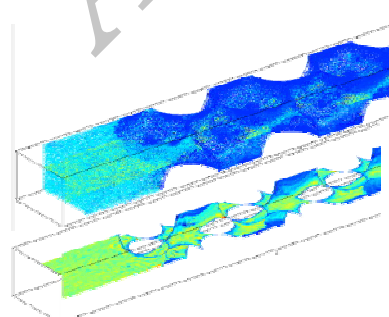
شکل ۸- نمونه‌ای از کاتالیزورهای استفاده شده توسط پاسینی و همکاران [۱۴]

گوی‌های کاتالیزوری به قطرهای ۰/۴ میلی‌متر صورت گرفت. در کلیه شبیه‌سازی‌ها پراکسید هیدروژن با غلظت مولی ۴۲ کیلومول بر مترمکعب، معادل غلظت وزنی ۹۰٪، با سرعت ۰/۱۴ متر بر ثانیه به عنوان سیال ورودی تعریف شد. نمونه‌ای از نتایج تغییرات غلظت پراکسید هیدروژن در فرایند تجزیه روی بستر کاتالیستی در یکی از شبیه‌سازی‌ها در شکل ۹ نمایش داده شده است. تغییرات غلظت پراکسید هیدروژن در طول بستر کاتالیزوری برای بستر کاتالیزوری با گوی‌های مختلف در نمودار شکل ۱۰ ارائه شده است. همان‌طور که مشاهده می‌شود در طول معینی از بستر کاتالیزوری با کاهش قطر گوی‌ها، تجزیه پراکسید هیدروژن افزایش می‌یابد. دلیل افزایش نرخ واکنش در واحد طول بستر را می‌توان به افزایش میزان سطح تماس کل گوی‌ها با پراکسید هیدروژن نسبت داد. درنتیجه واکنش سریع‌تر

شبیه‌سازی برای تعیین طول مناسب برای تجزیه کامل پیش‌رانه انجام شد. نتایج این شبیه‌سازی‌ها به همراه نتایج آزمون‌های پاسینی و همکارانش در جدول ۲ ارائه شده است. با فرض طول بستر کاتالیستی در حدود ۳۲ میلی‌متر برای هر دو آزمایش، نتایج شبیه‌سازی نیازمندی به طول بستر بیشتر برای هر دو آزمون را نشان می‌دهد. همان‌طور که بازدہ سرعت مشخصه نیز نشان می‌دهد، کوچک بودن طول لازم برای تجزیه پیش‌رانه به کاهش کارایی موتور در هر دو آزمون منجر شده است.

### ۳ نتایج و بحث

به منظور بررسی تأثیر قطر گوی‌های کاتالیزوری بر نحوه عملکرد بستر، طول بهینه و میزان افت فشار، شبیه‌سازی‌هایی برای بسترهای با قطرهای مختلف



شکل ۹- فرایند تجزیه شدن و تغییرات غلظت پراکسید هیدروژن در بخشی از بستر کاتالیزوری

جدول ۱- مشخصات اصلی موتور آزموده شده توسط پاسینی و همکاران [۱۴]

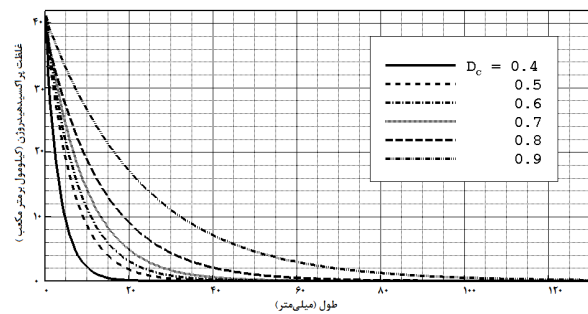
متغیر	مقدار
قطر داخلی موتور (میلی‌متر)	۸
نسبت طول به قطر موتور	۴
قطر گلوبگاه نازل	۲
نسبت انبساط نازل	۳/۴۸

علاوه بر طول موردنیاز برای تجزیه کامل پراکسیدهیدروژن، افت فشار ایجادشده در بسترهای کاتالیزوری مختلف نیز محاسبه و مورد ارزیابی قرار گرفت. نتایج تغییرات افت فشار بستر کاتالیزوری نسبت به قطر گوی‌ها برای رسیدن به تجزیه کامل پیش‌رانه در شکل ۱۱ نمایش داده شده است. بررسی افت فشار بستر کاتالیزوری نشان می‌دهد که در سرعت پیش‌رانه مشخص، در قطر خاصی کمینه افت فشار ایجاد خواهد شد.

همان‌طور که در شکل ۱۲ نمایش داده شده است، با کاهش قطر گوی‌های کاتالیزوری نرخ افت فشار در واحد طول بستر کاتالیزوری افزایش می‌یابد. از سوی دیگر هرچند افزایش قطر گوی‌ها، افت فشار واحد طول بستر را کاهش می‌دهد اما طول بیشتری از بستر کاتالیزوری را برای انجام کامل واکنش تجزیه نیاز دارد، لذا در قطرهای بزرگ افزایش قطر به افزایش افت فشار کل بستر کاتالیزوری می‌انجامد.

#### ۴ نتیجه‌گیری

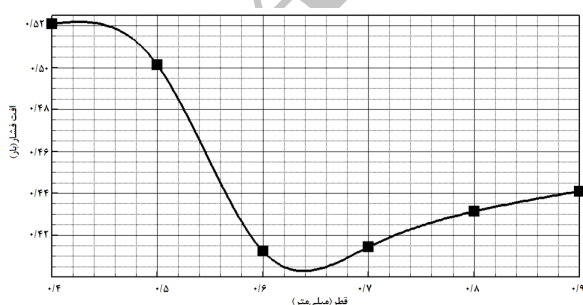
برای درک صحیح عملکرد شیمیایی بسترهای کاتالیزوری گلوله‌ای، مطالعه‌ای در خصوص تأثیر قطر گوی‌های کاتالیزوری بر نحوه عملکرد شیمیایی بستر، طول بهینه و میزان افت فشار، انجام شد. در این مطالعه پس از



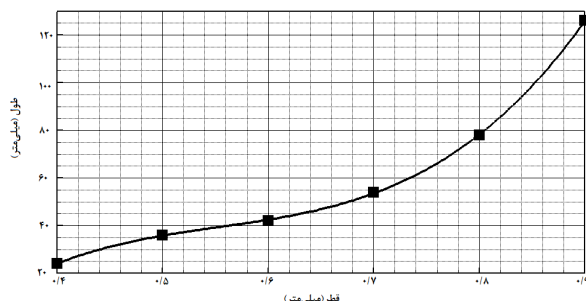
شکل ۱۰- تغییرات غلظت پراکسیدهیدروژن در طول بستر برای قطر گوی‌های مختلف

و طول بستر کاتالیزوری مورد نیاز برای انجام کامل واکنش شیمیایی تجزیه، کاهش می‌یابد. از طرف دیگر با افزایش قطر گوی‌های کاتالیزوری فضاهای خالی بین گوی‌های افزایش‌یافته و میزان سطح تماس کاهش پیداکرده و طول موردنیاز برای بستر کاتالیزوری افزایش می‌یابد.

منحنی تغییرات طول موردنیاز برای تجزیه کامل پراکسیدهیدروژن بر حسب قطر گوی‌های کاتالیزوری در طول بستر کاتالیزوری در شکل ۱۱ ارائه شده است. همان‌طور که در شکل ۱۱ نشان داده شده است هرچه اندازه قطر گوی‌ها کوچک‌تر باشد تجزیه پیش‌رانه در طول کم‌تری انجام می‌شود.



شکل ۱۲- منحنی تغییرات افت فشار کاتالیزوری بر حسب قطر گوی‌های کاتالیزوری



شکل ۱۱- منحنی تغییرات طول موردنیاز برای تجزیه کامل پراکسیدهیدروژن بر حسب قطر گوی‌های کاتالیزوری در طول بستر کاتالیزوری

که تمام پراکسید هیدروژن تجزیه شود، تغییر داده شد. نتایج این مطالعه حاکی است که با افزایش قطر گوی‌های کاتالیزوری، میزان سطح مؤثر واکنش کاهش پیداکرده و طول موردنیاز بستر کاتالیزوری برای تجزیه کامل پیش‌رانه نیز افزایش می‌یابد. علاوه بر طول موردنیاز برای تجزیه کامل پراکسید هیدروژن، میزان تخلخل و افت فشار ایجادشده در بسترهای کاتالیزوری مختلف نیز محاسبه و مورد ارزیابی قرار گرفت. نتایج بررسی افت فشار بستر کاتالیزوری نشان می‌دهد که در سرعت پیش‌رانه مشخص، در قطر خاصی کمینه افت افشار ایجاد خواهد شد. دلیل این امر برهم‌کنش تأثیرات میزان تخلخل و طول بستر کاتالیزوری برافت فشار ایجادشده در طی فرایند تجزیه پیش‌رانه است.

استخراج معادلات حاکم بر مسئله تجزیه پیش‌رانه در بسترهای کاتالیزوری، شبیه‌سازی‌های صفر بعدی و سه‌بعدی برای مطالعه پارامتریانجام شد. در کلیه شبیه‌سازی‌ها پراکسید هیدروژن ۹۰٪، به عنوان پیش‌رانه مورد ارزیابی قرار گرفت. در شبیه‌سازی صفر بعدی تأثیر متغیرهای مدل‌سازی احتراقی بر نرخ انجام واکنش مورد مطالعه قرار گرفت. در شبیه‌سازی‌های سه‌بعدی سرعت پیش‌رانه ورودی در حدود ۰/۱۴ متر بر ثانیه برای بسترهای با قطرهای مختلف گوی‌های کاتالیزوری به قطرهای ۰/۹ میلی متر به صورت شکل ۱۰ صورت گرفت. برای هر شبیه‌سازی تغییرات غلظت اجزای واکنش در طول بستر کاتالیزوری هریک برای ورودی جریان پراکسیدهیدروژن مایع استخراج شد. برای هر قطر گوی کاتالیزوری، طول بستر تا جایی

## فهرست علایم

ضریب تابع نمایی ( $s^{-1}$ )	A
غلاظت مولی	C
ضریب گرمای ویژه	$C_p$
قطر کاتالیزور (mm)	D
انرژی فعال‌سازی	Ea
نیروی کشن سطحی	F
سرعت سینتیک شیمیایی	k
طول بستر کاتالیزوری (mm)	L
فنار ( $kgm^{-1}s^{-2}$ )	P
سرعت واکنش ( $mols^{-1}$ )	r
ثابت گاز	R
(Dما) (K)	T
سرعت سیال	u
علائم یونانی	
چگالی	$\rho$
لرجهت دینامیکی ( $kgm^{-1}s^{-1}$ )	$\mu$

## مراجع

- 1- Mark Ventura P., Wernimont E., Heister S., and Steve Yuan P., "Rocket Grade Hydrogen Peroxide (RGHP) for Use in Propulsion and Power Devices-historical Discussion of Hazards," 43rd AIAA/ASME/SAE/ASEE Joint Propulsion Conference & Exhibit. 2007.
- 2- S. Schneider, Hawkins T., Ahmed Y., Rosander M., Hudgens L., and Mills J., "Green Bipropellants: Hydrogen Rich Ionic Liquids that Are Hypergolic with Hydrogen Peroxide," Angewandte Chemie International Edition, 50, 5886-5888, 2011.
- 3- Ghassemi H., Meibody M., and Shaabani Lakeh K., "Experimental Investigation on the Hybrid Motor Using HTPB/AP Composite Fuel and Hydrogen Peroxide Oxidizer," Proceedings of the Institution of Mechanical Engineers, Part G: Journal of Aerospace Engineering, 229, 1171-1182, 2015.
- 4- Sutton G. P. and Biblarz O., Rocket Propulsion Elements. John Wiley & Sons, 2010.
- 5- Jung H., Kim J. H., and Kim J. S., "An Approach to the Optimization of Catalyst-bed L/D Configuration in 70 N-class Hydrazine Thruster," Journal of the Korean Society of Propulsion Engineers, 17, 30-37, 2013.
- 6- Jo S., "Response Characteristics of  $H_2O_2$  Monopropellant Thrusters with MnO<sub>2</sub>-mixed PbO Catalyst," Aerospace Science and Technology, 60, 1-8, 2017.
- 7- Hitt D. and Zhou X., "One-dimensional Modeling of Catalyzed H<sub>2</sub>O<sub>2</sub> Decomposition in Microchannel Flows," AIAA Paper, 2584, 33, 2003.
- 8- Chiappetta L., Spadaccini L., Huang H., Watkins W., and A. Crocker, "Modeling a Hydrogen Peroxide Gas Generator for Rockets," AIAA Paper, 3223, 17-19, 2000.
- 9- Corpene J., Heister S. D., Anderson W., and Austin B., "Thermal Decomposition of Hydrogen Peroxide, Part 2: Modeling Studies," Journal of Propulsion and Power, Vol. 22, No. 5, PP. 996-1005, 2006.
- 10- Heister S., Anderson W., Corpene J., and Austin B., "A Model for Thermal Decomposition of Hydrogen Peroxide," DTIC Document 2004.
- 11- Pasini A., Torre L., Romeo L., and d'Agostino L., "Performance Modeling and Analysis of  $H_2O_2$  Catalytic Pellet Reactors," AIAA Paper, 5025, 2008, 2008.
- 12- Ghassemi H. M. , M. N.P. ; Asghari, I., "Experimental Investigation on Specific Velocity of Hydrogenperoxid Monopropellant Thruster," Presented at the 11 th Iranian Aerospace Society Conference, Tehran, Iran, March 1-3, 2011.
- 13- McDevitt M. R. and Hitt D. L., "Liquid Phase Hydrogen Peroxide Decomposition for Micro-propulsion Applications," Advances in Aircraft and Spacecraft Science, 4, 21-35, 2017.
- 14- Pasini A., Torre L., Romeo L., Cervone A., and d'Agostino L., "Performance Characterization of Pellet Catalytic Beds for Hydrogen Peroxide Monopropellant Rockets," Journal of Propulsion and Power, 27, 428-436, 2011.